

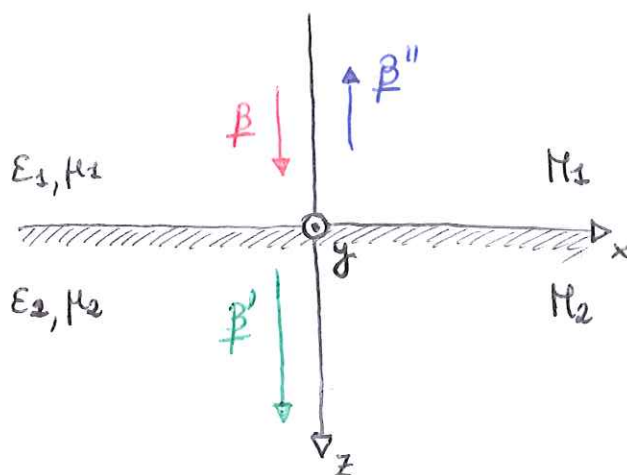
## 9. RIFLESSIONE E RIFRAZIONE DI ONDE PIANE

### • INCIDENZA NORMALE:

Consideriamo un **MATERIALE DIELETTRICO**.

Abbiamo 2 mezzi PRIVI di DISSIPAZIONI  $M_1$  ed  $M_2$  con parametri REALI  $\epsilon_1, \mu_1$  (di solito l'ARIA  $\Rightarrow \epsilon_0, \mu_0$ ) e  $\epsilon_2, \mu_2$ .

Dal mezzo  $M_1$ , un' ONDA PIANA UNIFORME INCIDE NORMALMENTE sulla superficie piana di separazione tra i 2 mezzi:



Dobbiamo soddisfare le CONDIZIONI AL CONTORNO che, essendo i mezzi dielettrici, riguardano i COMPONENTI TANGENZIALI; tuttavia, i campi sono tutti tangenziali ( $\nabla \parallel \underline{\beta}$ ) poiché ortogonali a  $\underline{\beta}_0 \equiv \underline{z}_0$ .

Avremo un' ONDA RIFRATTA e un' ONDA RIFLESSA che si propagano in direzione  $\underline{z}_0$ , la prima in  $+\underline{z}_0$  e l'altra in  $-\underline{z}_0$ :

- $\underline{\beta} = \omega \sqrt{\mu_1 \epsilon_1} \underline{z}_0$  INCIDENTE
- $\underline{\beta}' = \omega \sqrt{\mu_2 \epsilon_2} \underline{z}_0$  RIFRATTA
- $\underline{\beta}'' = -\omega \sqrt{\mu_1 \epsilon_1} \underline{z}_0$  RIFLESSA

• I CAMPI sono determinati dalle condizioni di continuità in corrispondenza della superficie di separazione, cioè per  $z=0$ :

per esempio:  $\underline{E}''(z) = \underline{E}_0'' e^{j\beta z} \Big|_{z=0} = \underline{E}_0''$

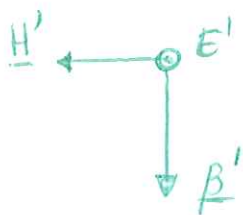
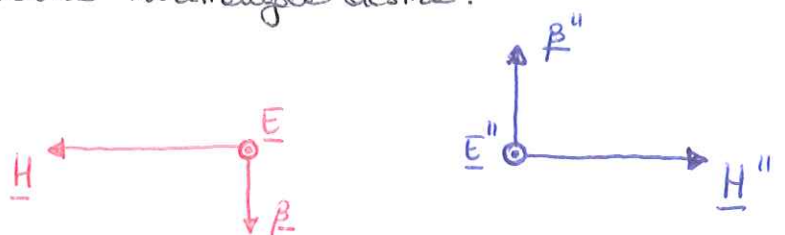
Quindi, si ha:

$$\begin{aligned} \underline{E}_0 + \underline{E}_0'' &= \underline{E}_0' \\ \underline{H}_0 + \underline{H}_0'' &= \underline{H}_0' \end{aligned}$$

\* Sono vettori COMPLESSI:  
vale per  $\text{Re}[\dots]$  e  $\text{Im}[\dots]$

• Assunti:  $\underline{E}_o = E_o \underline{e}_o$  ;  $\underline{H}_o = H_o \underline{h}_o$

l' ONDA RIFLESSA ha  $\underline{H}$  ed  $\underline{E}$  ruotati rispetto all'onda incidente, poiché devono rispettare la terza triadrettangolo destra:



Quindi, l' ONDA RIFLESSA ha:

$$\underline{E}_o'' = E_o'' \underline{e}_o \quad ; \quad \underline{H}_o'' = -H_o'' \underline{h}_o$$

\* segue RENO!

e l' ONDA RIFRATTA ha:

$$\underline{E}_o' = E_o' \underline{e}_o \quad ; \quad \underline{H}_o' = H_o' \underline{h}_o$$

Proiettando sugli assi, per la generica componente  $i$ :

$$\begin{array}{l} 1) \quad E_{oi} + E_{oi}'' = E_{oi}' \\ 2) \quad \frac{E_{oi}}{\eta_1} - \frac{E_{oi}''}{\eta_1} = \frac{E_{oi}'}{\eta_2} \end{array}$$

da cui:

$$E_{oi}'' (\eta_2 + \eta_1) = E_{oi} (\eta_2 - \eta_1)$$

ovvero:

$$E_{oi}'' = \frac{\eta_2 - \eta_1}{\eta_2 + \eta_1} E_{oi}$$

Dove definiamo il rapporto:

$$\boxed{q_E = \frac{E_o''}{E_o} = \frac{\eta_2 - \eta_1}{\eta_2 + \eta_1}}$$

COEFFICIENTE DI RIFLESSIONE del campo elettrico per incidenza normale.

\* Se  $\eta_1 = \eta_2$  (stesso mezzo)  $\Rightarrow q_E = 0 \Rightarrow$  NON ho RIFLESSIONE, proprio perché il mezzo è lo stesso

Analogamente, definiamo:

$$\boxed{q_H = \frac{H_{oi}''}{H_{oi}} = \frac{\eta_2 - \eta_1}{\eta_2 + \eta_1} = q_E}$$

COEFFICIENTE DI RIFLESSIONE del campo magnetico per incidenza normale.

ATTENZIONE: il fatto che il coefficiente di riflessione del campo magnetico sia uguale a quello del campo elettrico implica che, se il campo elettrico RIFLESSO è DISCORDE a quello incidente, allora il campo magnetico è CONCORDE e VICEVERSA!

Dai coefficienti di riflessione è possibile ricavare i coefficienti di TRASMISSIONE:

$$\boxed{t_E = \frac{E_{oi}'}{E_{oi}} = 1 + \frac{E_{oi}''}{E_{oi}} = 1 + q_E = 1 + \frac{\eta_2 - \eta_1}{\eta_2 + \eta_1} = \frac{2\eta_2}{\eta_2 + \eta_1}}$$

COEFFICIENTE DI TRASMISSIONE del campo ELETTRICO

$$\boxed{t_H = \frac{H_{oi}'}{H_{oi}} = 1 - \frac{H_{oi}''}{H_{oi}} = 1 - q_H = 1 - \frac{\eta_2 - \eta_1}{\eta_2 + \eta_1} = \frac{2\eta_1}{\eta_2 + \eta_1}}$$

COEFFICIENTE DI TRASMISSIONE del campo MAGNETICO

\* Ovviamente, se  $\eta_1 = \eta_2$  (STESSO MEZZO)  $\Rightarrow t_E = t_H = 1$

## • MATERIALE DISSIPATIVO (CONDUTTORE):

Consideriamo ora il caso in cui il mezzo  $\mu_2$  sia DISSIPATIVO e si comporti come un CONDUTTORE ( $g \neq 0$ ).

Allora, abbiamo:

$$\eta_2 = \sqrt{\frac{\omega \mu_2}{2g}} + j \sqrt{\frac{\omega \mu_2}{2g}}$$

e, poiché  $q_E = \frac{\eta_2}{\eta_1} - 1$ , calcoliamo il rapporto  $\frac{\eta_2}{\eta_1}$ :

$$\frac{\eta_2}{\eta_1} = \sqrt{\frac{\omega \mu_2}{2g} \cdot \frac{\epsilon_1}{\mu_1}} + j \sqrt{\frac{\omega \mu_2}{2g} \cdot \frac{\epsilon_1}{\mu_1}}$$

Tenendo conto che:

- $\mu_2 \simeq \mu_1$ ;
- $\epsilon_1$  è dello stesso ordine di grandezza di  $\epsilon_2$  ( $\epsilon_1 \simeq \epsilon_2$ );
- $\frac{\omega \epsilon_2}{g} \rightarrow 0$ , poiché il mezzo è un CONDUTTORE

$$\Rightarrow \frac{\eta_2}{\eta_1} \rightarrow 0 \text{ e quindi: } \boxed{q_E \simeq -1; q_H \simeq -1; t_E \simeq 0}$$

\* L'onda incidente viene RIFLESSA (quasi) COMPLETAMENTE!

Il campo elettrico che entra nel conduttore è praticamente nullo.

\* Invece, il CAMPO MAGNETICO TANGENZIALE nello strato superficiale del conduttore è il DOPPIO di quello incidente ( $t_H = 1 - q_E \simeq 2$ ), e decade esponenzialmente con la profondità:

$$H_2(z) - H_1(0^-) = \int_0^z J(z) dz$$

Quando:  $g \rightarrow \infty$  (CONDUTTORE IDEALE)  $\Rightarrow J(z) \rightarrow K \delta(z)$   
contemporaneamente

$$H(0^+) \rightarrow 0 \Rightarrow q_H \rightarrow -1$$

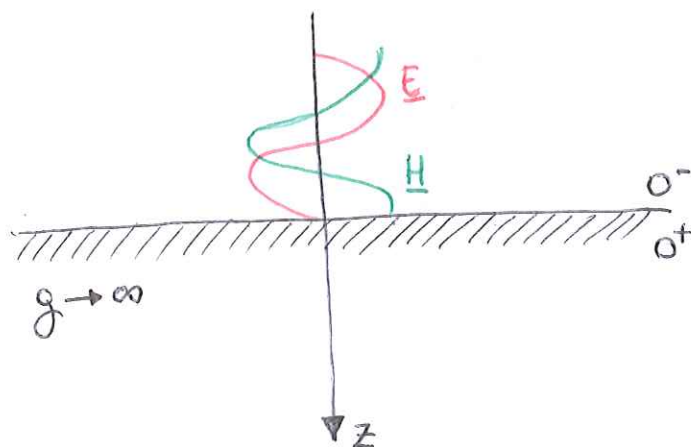


- All'esterno del conduttore, il campo risulta dalla SOVRAPPOSIZIONE di quello dell'ONDA INCIDENTE e quello dell'ONDA RIFLESSA:

$$\underline{E}_{\text{tot}} = \underline{E}_0 e^{-j\beta z} + \underline{E}_0'' e^{j\beta z} = \underline{E}_0 (e^{-j\beta z} - e^{j\beta z}) = \boxed{-2j \underline{E}_0 \sin(\beta z)}$$

$$\underline{H}_{\text{tot}} = \underline{H}_0 e^{-j\beta z} + \underline{H}_0'' e^{j\beta z} = \underline{H}_0 (e^{-j\beta z} + e^{j\beta z}) = \boxed{2 \underline{E}_0 \cos(\beta z)}$$

\* ENTRAMBI I CAMPI NON SI PROPAGANO  $\rightarrow$  ONDE STAZIONARIE



Non si propagano perché non c'è la VARIAZIONE DI FASE (termine esponenziale), ma il  $\sin(\beta z)$  e il  $\cos(\beta z)$  variano solo l'ampiezza.  
Le ONDE STAZIONARIE sono comunque chiamate "onde" poiché derivano dalla sovrapposizione di 2 onde!

- IL VETTORE DI POYNTING del CAMPO TOTALE  $\hat{x}$ :

$$\underline{P}_{\text{tot}} = -2j \frac{|\underline{E}_0|^2}{\eta} \sin(\beta z) \cos(\beta z) \underline{z}_0 = -j \frac{|\underline{E}_0|^2}{\eta} \sin(2\beta z) \underline{z}_0$$

ed è PURAMENTE IMMAGINARIO  $\Rightarrow$  Tutta POTENZA REATTIVA; IL CAMPO TOTALE NON TRASPORTA POTENZA!

ATTENZIONE: le 2 onde individualmente trasportano potenza! Infatti:

- INCIDENTE:  $\underline{P} = \frac{|\underline{E}_0|^2}{2\eta} \underline{z}_0$

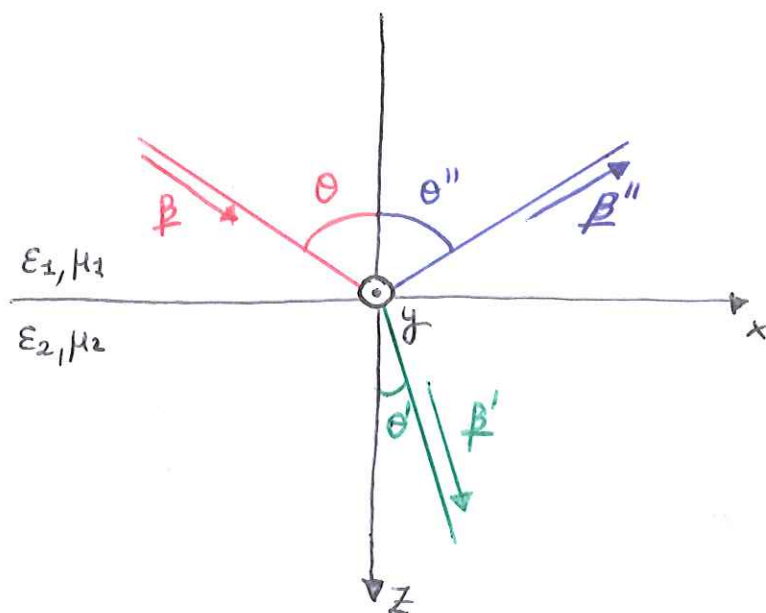
- RIFLESSA:  $\underline{P}'' = -\frac{|\underline{E}_0''|^2}{2\eta} \underline{z}_0$

$$\boxed{\underline{P}_{\text{tot}} \neq \underline{P} + \underline{P}''}$$

## • INCIDENZA OBBLIQUA :

Consideriamo  $M_2$ , caratterizzato da  $\epsilon_2, \mu_2$ , un MEZZO DIELETTRICO.

Sovrapposte, e' onde piane uniformi INCIDE con un ANGOLO  $\theta$  dal mezzo 1 :



- Le CONDIZIONI AL CONTORNO in corrispondenza della superficie di separazione ( $z=0$ ) richiedono la presenza di un'onda riflessa e una rifratta.

I CAMPI, per le diverse onde, saranno :

- INCIDENTE: 
$$\underline{E} = \underline{E}_0 e^{-j(\beta_x x + \beta_z z)}$$
$$\underline{H} = \underline{H}_0 e^{-j(\beta_x x + \beta_z z)}$$
 con : 
$$\boxed{\begin{aligned} \beta_x &= \beta \sin \theta \\ \beta_z &= \beta \cos \theta \end{aligned}}$$

- RIFLESSA: 
$$\underline{E}'' = \underline{E}_0'' e^{-j(\beta_x'' x + \beta_z'' z)}$$
$$\underline{H}'' = \underline{H}_0'' e^{-j(\beta_x'' x + \beta_z'' z)}$$
 con 
$$\boxed{\begin{aligned} \beta'' &= \beta \\ \beta_x'' &= \beta \sin \theta'' \\ \beta_z'' &= -\beta \cos \theta'' \end{aligned}}$$

- RIFRATTA: 
$$\underline{E}' = \underline{E}_0' e^{-j(\beta_x' x + \beta_z' z)}$$
$$\underline{H}' = \underline{H}_0' e^{-j(\beta_x' x + \beta_z' z)}$$
 con 
$$\boxed{\begin{aligned} \beta_x' &= \beta' \sin \theta' \\ \beta_z' &= \beta' \cos \theta' \end{aligned}}$$

Le condizioni di CONTINUITA' ( $z=0$ ) dei COMPONENTI TANGENZIALI  $\underline{E}_t, \underline{H}_t$  richiedono che sia :

$$\boxed{\underline{E}_{ot} e^{-j\beta_x x} + \underline{E}_{ot}'' e^{-j\beta_x'' x} = \underline{E}_{ot}' e^{-j\beta_x' x}}$$

## • DETERMINAZIONE ANGOLI DI RIFLESSIONE E RIFRAZIONE :

Siccome la relazione precedente deve essere soddisfatta ovunque sul piano  $xy$  ( $z=0$ ) e per qualunque valore dei campi incidente, riflesso e rifratto, è NECESSARIO che :

$$e^{-j\beta_x x} = e^{-j\beta_x'' x} = e^{-j\beta_x' x}$$

che implica :

$$\beta_x = \beta_x'' = \beta_x'$$

$$\rightarrow \beta \sin \theta = \beta \sin \theta'' = \beta' \sin \theta'$$

Da cui si ricavano le seguenti 2 leggi :

• **LEGGE DI ERONE :**

$$\theta = \theta''$$

→ Angolo di incidenza  $\equiv$  Angolo di riflessione

• **LEGGE DI SNELL :**

$$\frac{\sin \theta}{\sin \theta'} = \frac{\beta'}{\beta}$$

Notare che la Legge di Snell impone l'uguaglianza delle velocità di fase lungo  $x$  di onde incidente e rifratte :

$$\frac{\sin \theta}{\sin \theta'} = \frac{\beta'}{\beta} = \frac{\sqrt{\mu_2 \epsilon_2}}{\sqrt{\mu_1 \epsilon_1}} = \frac{u_1}{u_2} = \frac{n_2}{n_1} = n_{21}$$

dove :  $u_1$  ed  $u_2$  sono le VELOCITÀ DI PROPAGAZIONE nei mezzi  $M_1$  ed  $M_2$ .

Se il mezzo  $M_1$  è il vuoto ( $\epsilon_1 = \epsilon_0, \mu_1 = \mu_0$ ) :

$$\frac{\sin \theta}{\sin \theta'} = \sqrt{\mu_r \epsilon_r} = n$$

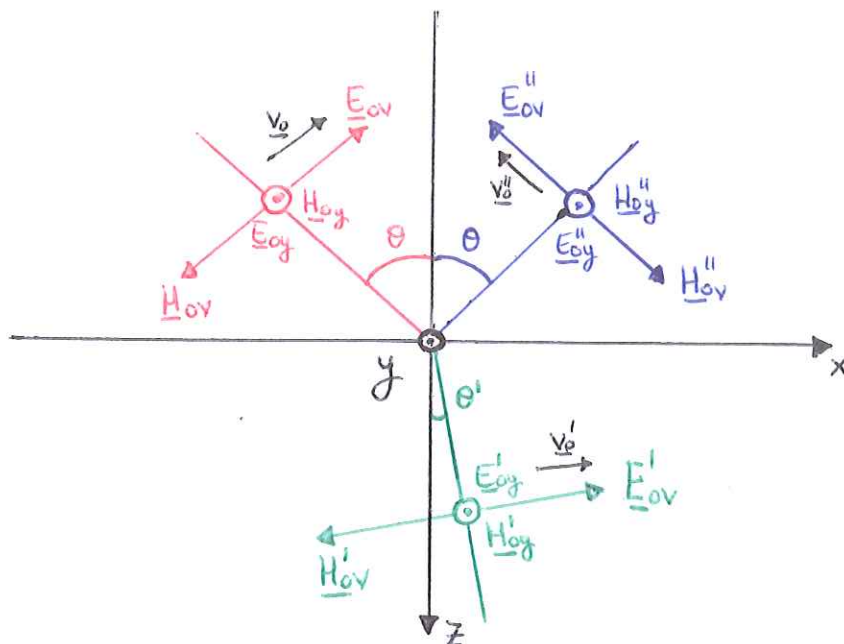
→ INDICE DI RIFRAZIONE  
del mezzo  $M_2$

## • DETERMINAZIONE COEFFICIENTI DI RIFLESSIONE :

Stabilite l'uguaglianza degli esponenziali, le condizioni di continuità si riducono alle :

$$\begin{aligned} \underline{E}_{ot} + \underline{E}_{ot}'' &= \underline{E}_{ot}' \\ \underline{H}_{ot} + \underline{H}_{ot}'' &= \underline{H}_{ot}' \end{aligned}$$





- Il CAMPO INCIDENTE, comunque sia polarizzato, può essere rappresentato da 2 vettori  $\underline{E}_{0h}$  ed  $\underline{E}_{0v}$ , tra loro ORTOGONALI e giacenti sul piano (equifasi) PERPENDICOLARE a  $\underline{\beta}$ :

$$\underline{E}_0 = \underline{E}_{0h} + \underline{E}_{0v} = E_{0y} \underline{y}_0 + E_{0v} \underline{v}_0$$

$$\underline{H}_0 = \frac{\underline{\beta}_0 \times \underline{E}_0}{\eta_1} = -\frac{E_{0y}}{\eta_1} \underline{v}_0 + \frac{E_{0v}}{\eta_1} \underline{y}_0$$

dove  $\underline{v}_0 = \underline{x}_0 \cos \theta - \underline{z}_0 \sin \theta$

- Analogamente, per il CAMPO RIFLESSO:

$$\underline{E}_0'' = \underline{E}_{0h}'' + \underline{E}_{0v}'' = E_{0y}'' \underline{y}_0 + E_{0v}'' \underline{v}_0''$$

$$\underline{H}_0'' = \frac{\underline{\beta}_0'' \times \underline{E}_0''}{\eta_1} = -\frac{E_{0y}''}{\eta_1} \underline{v}_0'' + \frac{E_{0v}''}{\eta_1} \underline{y}_0$$

dove  $\underline{v}_0'' = -\underline{x}_0 \cos \theta - \underline{z}_0 \sin \theta$

- E per il CAMPO RIFRATTO:

$$\underline{E}_0' = \underline{E}_{0h}' + \underline{E}_{0v}' = E_{0y}' \underline{y}_0 + E_{0v}' \underline{v}_0'$$

$$\underline{H}_0' = \frac{\underline{\beta}_0' \times \underline{E}_0'}{\eta_2} = -\frac{E_{0y}'}{\eta_2} \underline{v}_0' + \frac{E_{0v}'}{\eta_2} \underline{y}_0$$

dove  $\underline{v}_0' = \underline{x}_0 \cos \theta' - \underline{z}_0 \sin \theta'$



Dunque, proiettate sugli assi  $x$  e  $y$ , le CONDIZIONI AL CONFINAMENTO (sulle componenti TANGENZIALI) danno:

$$\begin{aligned}
 \bullet (1) \quad & E_{oy} + E_{oy}'' = E_{oy}' \\
 \bullet (2) \quad & E_{ov} \cos \theta - E_{ov}'' \cos \theta = E_{ov}' \cos \theta' \\
 \bullet (3) \quad & -\frac{E_{oy}}{\eta_1} \cos \theta + \frac{E_{oy}''}{\eta_1} \cos \theta = -\frac{E_{oy}'}{\eta_2} \cos \theta' \\
 \bullet (4) \quad & \frac{E_{ov}}{\eta_1} + \frac{E_{ov}''}{\eta_1} = \frac{E_{ov}'}{\eta_2}
 \end{aligned}$$

\* NOTA: La scelta di  $E_{oh}$  ed  $E_{ov}$  come componenti di  $E_o$  permette di scindere il sistema di 4 equazioni in 4 incognite in 2 SISTEMI di 2 EQUAZIONI in 2 INCOGNITE, risolvendo separatamente per la componente su  $y$  e quella su  $v$ !

•  $E_{oh}$  ed  $E_{ov}$  sono dette POLARIZZAZIONI PRINCIPALI e vengono riflessi e rifratti con MODALITA' INDIPENDENTI, infatti è possibile scindere il sistema in 2 sistemi separati in 2 incognite.

• COMPONENTE ORIZZONTALE (h):

Prendendo le equazioni di  $y$ , cioè le (1) e la (3):

$$(-E_{oy} + E_{oy}'') \frac{\cos \theta}{\eta_1} = -\frac{E_{oy} + E_{oy}''}{\eta_2} \cos \theta'$$

$$E_{oy}'' \left( \frac{\eta_2 \cos \theta + \eta_1 \cos \theta'}{\eta_1 \eta_2} \right) = E_{oy} \left( \frac{\eta_2 \cos \theta - \eta_1 \cos \theta'}{\eta_1 \eta_2} \right)$$

Si può ricavare il COEFFICIENTE DI RIFLESSIONE  $r_{Eh}$ :

$$r_{Eh} = \frac{E_{oy}''}{E_{oy}} = \frac{\eta_2 \cos \theta - \eta_1 \cos \theta'}{\eta_2 \cos \theta + \eta_1 \cos \theta'}$$

Legge di Snell

mettendo in evidenza  $\eta_2$  e semplificandolo, tenendo conto che  $n_{21} = \frac{\sin \theta}{\sin \theta'}$  possiamo

$$\text{scrivere: } \cos \theta' = \sqrt{1 - \sin^2 \theta'} = \sqrt{1 - \frac{\sin^2 \theta}{n_{21}^2}} = \frac{1}{n_{21}} \sqrt{n_{21}^2 - \sin^2 \theta}$$

e si ottiene:

$$q_{Eh} = \frac{\cos \theta - \frac{1}{m_{21}} \cdot \frac{\eta_1}{\eta_2} \sqrt{m_{21}^2 - \sin^2 \theta}}{\cos \theta + \frac{1}{m_{21}} \cdot \frac{\eta_1}{\eta_2} \sqrt{m_{21}^2 - \sin^2 \theta}}$$

- Per e' incidenze dell' ARIA ( $\mu_1$ ) ad un mezzo  $\mu_2$  DIELETTRICO ( $m_{21} = n = \sqrt{\mu_2 \epsilon_2}$ ):

$$q_{Eh} \approx \frac{\cos \theta - \sqrt{\epsilon_2 - \sin^2 \theta}}{\cos \theta + \sqrt{\epsilon_2 - \sin^2 \theta}}$$

Essendo  $\epsilon_2 > 1$  poiché  $\mu_2 \neq \text{ARIA}$ ,  $\sqrt{\epsilon_2 - \sin^2 \theta} \geq \sqrt{1 - \sin^2 \theta} = \cos \theta$ , quindi:

$q_{Eh}$  è SEMPRE NEGATIVO!

- $|q_{Eh}|$  AUMENTA MONOTONAMENTE del valore per incidenze normali ( $\theta = 0$ ) al valore 1 che si ha per incidenze radente ( $\theta \rightarrow \frac{\pi}{2}$ ).

### • COMPONENTE VERTICALE (V):

Analogamente, delle (2) e delle (4):

$$\eta_1 \cos \theta (E_{ov} - E_{or}'') = \eta_2 \cos \theta' (E_{ov} - E_{or}'')$$

si può ricavare il COEFFICIENTE DI RIFLESSIONE  $q_{Ev}$ :

$$q_{Ev} = \frac{E_{or}''}{E_{ov}} = \frac{\eta_1 \cos \theta - \eta_2 \cos \theta'}{\eta_1 \cos \theta + \eta_2 \cos \theta'}$$

che può essere scritto come:

$$q_{Ev} = \frac{\cos \theta - \frac{1}{m_{21}} \frac{\eta_2}{\eta_1} \sqrt{m_{21}^2 - \sin^2 \theta}}{\cos \theta + \frac{1}{m_{21}} \frac{\eta_2}{\eta_1} \sqrt{m_{21}^2 - \sin^2 \theta}}$$

Nel caso di incidenza da ARIA a DIELETTRICO ( $n_{21} = n = \sqrt{\epsilon_r \mu_r}$ ):

$$q_{Ev} = \frac{\epsilon_r \cos \theta - \sqrt{\epsilon_r - \sin^2 \theta}}{\epsilon_r \cos \theta + \sqrt{\epsilon_r - \sin^2 \theta}}$$

### • ANGOLO DI BREWSTER $\theta_B$ :

A differenza di  $q_{Eh}$ ,  $q_{Ev}$  si può annullare per un particolare angolo  $\theta_B$  detto ANGOLO DI BREWSTER; pertanto,  $|q_{Ev}|$  NON è funzione monotona di  $\theta$ , ma decresce dal valore per incidenza normale fino a  $\theta = \theta_B$  in cui  $q_{Ev} = 0$  e poi ricresce successivamente fino al valore 1 per  $\theta \rightarrow \frac{\pi}{2}$ .

$$n_{21} \eta_1 \cos \theta_B = \eta_2 \sqrt{n_{21}^2 - \sin^2 \theta_B}$$

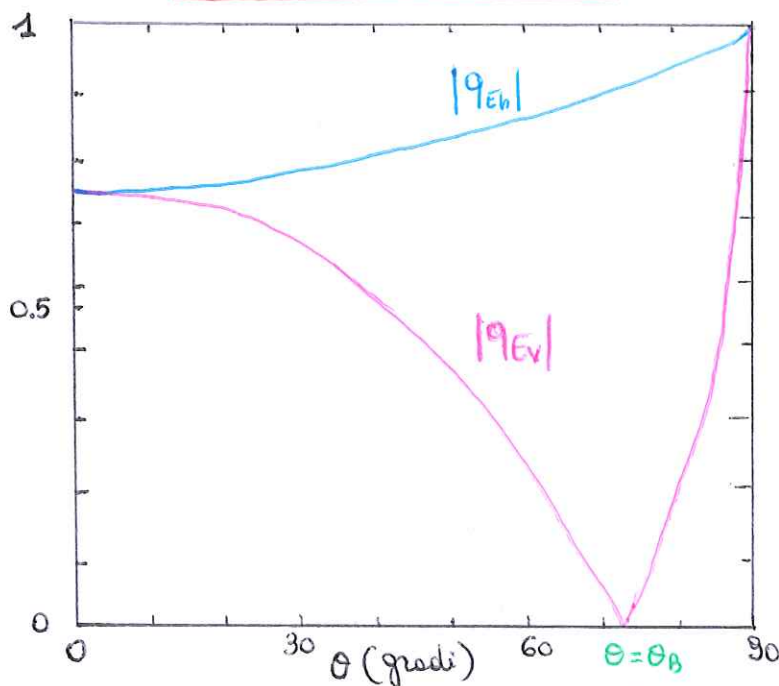
Nell'ipotesi di mezzi dielettrici,  $\mu_2 \approx \mu_1 \approx \mu_0$  e:

$$\cos \theta_B = \sqrt{\frac{\mu_0}{\epsilon_2}} \sqrt{\frac{\epsilon_1}{\mu_0}} \sqrt{\frac{\epsilon_1}{\epsilon_2}} \sqrt{\frac{\epsilon_2}{\epsilon_1} - \sin^2 \theta_B} = \frac{\epsilon_1}{\epsilon_2} \sqrt{\frac{\epsilon_2}{\epsilon_1} - \sin^2 \theta_B}$$

da cui:

$$\sin \theta_B = \sqrt{\frac{\epsilon_2}{\epsilon_1 + \epsilon_2}}$$

→ ANGOLO DI BREWSTER



• Quando  $\theta = \theta_B$ ,  $q_{Ev} = 0$ !



## • COEFFICIENTI DI TRASMISSIONE:

Dalla (1) e dalla (3):

$$(-E_{oy} + E'_{oy} - E_{oy}) \frac{\cos \theta}{\eta_1} = -\frac{E'_{oy}}{\eta_2} \cos \theta'$$

$$2 E_{oy} \frac{\cos \theta}{\eta_1} = \frac{E'_{oy}}{\eta_2} \left( \frac{\cos \theta}{\eta_1} + \frac{\cos \theta'}{\eta_2} \right)$$

da cui il COEFFICIENTE DI TRASMISSIONE  $t_{Eh}$ :

$$t_{Eh} = \frac{E'_{oy}}{E_{oy}} = \frac{2 \eta_2 \cos \theta}{\eta_2 \cos \theta + \eta_1 \cos \theta'}$$

• COMPONENTE ORIZZONTALE

Dalla (2) e dalla (4):

$$E_{ov} \cos \theta - \left( \frac{\eta_1}{\eta_2} E'_{ov} - E_{ov} \right) \cos \theta = E'_{ov} \cos \theta'$$

$$2 E_{ov} \cos \theta = E'_{ov} \left( \frac{\eta_1}{\eta_2} \cos \theta + \cos \theta' \right)$$

da cui il COEFFICIENTE DI TRASMISSIONE  $t_{Ev}$ :

$$t_{Ev} = \frac{E'_{ov}}{E_{ov}} = \frac{2 \eta_2 \cos \theta}{\eta_1 \cos \theta + \eta_2 \cos \theta'}$$

• COMPONENTE VERTICALE

## • ESPRESSIONI DELLE ONDE RIFLESSA E RIFRATTA:

Si ottengono moltiplicando i rispettivi coefficienti per le rispettive componenti:

$$\underline{E}'' = \left[ r_{Eh}(\theta) \underline{E}_{oh} + r_{Ev}(\theta) E_{ov} \underline{y}_o'' \right] e^{-j(\beta_x' x - \beta_z' z)}$$

$$\underline{E}' = \left[ t_{Eh}(\theta) \underline{E}_{oh} + t_{Ev}(\theta) E_{ov} \underline{y}_o' \right] e^{-j(\beta_x' x + \beta_z' z)}$$

- Dato che  $r_{Eh} \neq r_{Ev}$  tranne che per  $\theta=0$  e  $\theta \rightarrow \frac{\pi}{2}$ , lo stato di polarizzazione dell'onda RIFLESSA  $\underline{E}''$  è in generale DIVERSO da quello dell'onda incidente  $\underline{E}$ .



- L'ONDA RIFLESSA è POLARIZZATA ORIZZONTALMENTE quando  $\theta = \theta_B$ , comunque sia polarizzata l'onda incidente  $\underline{E}$ .

## • M2 MEZZO DISSIPATIVO:

Consideriamo ora il caso in cui il mezzo  $M_2$  su cui l'onda incide sia DISSIPATIVO per conducibilità  $\sigma \neq 0$  (o anche per  $\epsilon$  e  $\mu$  complessi).

I CAMPI INCIDENTE e RIFLESSO restano gli stessi:

$$\underline{E} = \underline{E}_0 e^{-j(\beta_x x + \beta_z z)}$$

$$\underline{H} = \underline{H}_0 e^{-j(\beta_x x + \beta_z z)}$$

$$\underline{E}'' = \underline{E}_0'' e^{-j(\beta_x x - \beta_z z)}$$

$$\underline{H}'' = \underline{H}_0'' e^{-j(\beta_x x - \beta_z z)}$$

Ma, il campo RIFRATTO, essendo stavolta in un mezzo  $M_2$  dissipativo, deve essere caratterizzato da un vettore di propagazione  $\underline{K}$  COMPLESSO:

$$\begin{aligned} \underline{E}' &= \underline{E}_0' e^{-\alpha' z - j\beta' z} \\ \underline{H}' &= \underline{H}_0' e^{-\alpha' z - j\beta' z} \end{aligned}$$

Tuttavia, devono continuare a valere le condizioni di continuità per le componenti tangenziali dei campi; quindi, per  $\underline{z} = 0$ :

$$e^{-j\underline{K} \cdot \underline{z}} = e^{-j\underline{K}' \cdot \underline{z}}$$

ovvero:

$$e^{-j\beta_x x} = e^{-(\alpha'_x x + j\beta'_x x)} \quad \forall x$$

Cio' implica le condizioni sugli esponenti:

$$-j\beta_x = -\alpha'_x - j\beta'_x$$

e quindi:

$$\boxed{\alpha'_x = 0}$$

e

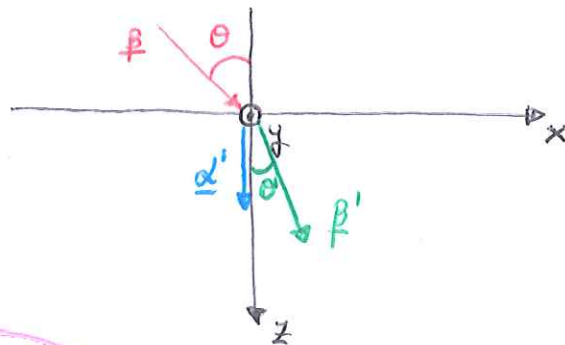
$$\boxed{\beta'_x = \beta_x}$$

Da cui:

$$\underline{\alpha}' = \alpha' \underline{z}_0$$

e

$$\beta'_x = \beta' \sin \theta' = \beta \sin \theta = \beta_x$$



Quindi:

$$\underline{\alpha}' \nparallel \beta'$$

→ ONDA RIFRATTA NON UNIFORME !

In questo caso, non è possibile determinare  $\alpha'$  e  $\beta'$  dalle sole condizioni al contorno.

\* Ovviamente, nel caso di INCIDENZA NORMALE ( $\theta = \theta' = 0$ )  $\Rightarrow \underline{\alpha}' \parallel \beta'$  e quindi l'onda rifratta rimane piana uniforme.

Inoltre, se  $\mu_2$  ha basse dissipazione oppure è un buon CONDUTTORE, l'onda rifratta può essere considerata ancora piana uniforme, ma l'attenuazione è molto alta con l'aumento della profondità, ovvero di  $z$ .

### • RIFLESSIONE TOTALE:

Consideriamo due MEZZI NON DISSIPATIVI e assumiamo che un'ONDA PIANA UNIFORME incide OBLIQUAMENTE dal mezzo in cui la velocità di propagazione è minore su quello in cui essa è maggiore. Ciò implica che:

$$\sqrt{\mu_1 \epsilon_1} > \sqrt{\mu_2 \epsilon_2}$$

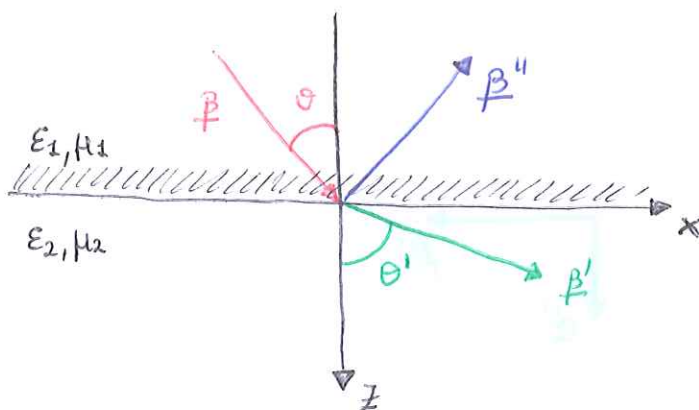
→ MEZZO 1 PIÙ DENS0 del 2

La CONTINUITÀ dei componenti tangenziali dei campi richiede che:

$$\sin \theta' = \frac{\sin \theta}{n_{21}} = \sqrt{\frac{\mu_1 \epsilon_1}{\mu_2 \epsilon_2}} \sin \theta$$

Da cui, essendo  $\sqrt{\epsilon_1 \mu_1} > \sqrt{\epsilon_2 \mu_2}$ , si ottiene che:  $\theta' > \theta$

La direzione di propagazione dell'onda RIFRATTA si allontana dalla normale al piano di discontinuità (da  $z_0$ ), e differisce dai casi precedenti.



L'angolo di rifrazione  $\theta'$  è maggiore di quello d'incidenza  $\theta$  quando  $\mu_1 \epsilon_1 > \mu_2 \epsilon_2$

All'aumentare dell'angolo di incidenza  $\theta$ , la direzione di  $\beta'$  si avvicina ad  $\underline{x}_0$  e, per l'angolo  $\theta = \theta_L$  (ANGOLO LIMITE), tale che:

$$\sin \theta_L = \sqrt{\frac{\mu_2 \epsilon_2}{\mu_1 \epsilon_1}} \rightarrow \underline{\theta_L \text{ ANGOLO LIMITE}}$$

L'ONDA RIFRATTA si propaga parallelamente al piano di discontinuità. ( $\theta' \rightarrow \frac{\pi}{2}$ )

• E se continuassimo ad aumentare  $\theta$ ?

Per  $\theta > \theta_L$ , non ci sono angoli di rifrazione  $\theta'$  che assicurino la CONDIZIONE DI CONTINUITÀ dei componenti tangenziali dei campi.

Questo perché, oltrepassato l'angolo limite, la velocità di fase lungo  $x$  dell'onda incidente è PIÙ BASSA della MINIMA VELOCITÀ DI FASE che un'ONDA PIANA UNIFORME può avere nel secondo mezzo:

$$\frac{\omega}{\beta \sin \theta} < \frac{\omega}{\beta'} \quad \text{per } \theta > \theta_L$$

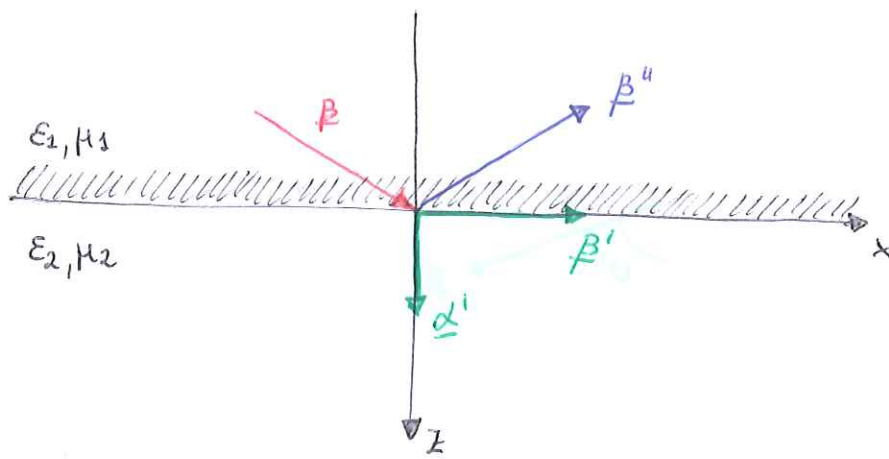
Questo è perché abbiamo assunto l'onda RIFRATTA UNIFORME!

Imvece, un' ONDA RIFRATTA NON UNIFORME è più "lenta" e può assicurare le condizioni di continuità, avendo velocità di fase:

$$u' = \frac{\omega}{\beta'} = \frac{\omega}{\sqrt{\alpha'^2 + k'^2}} < \frac{1}{\sqrt{\mu_2 \epsilon_2}}$$

• Dunque, un' ONDA INCIDENTE genera un' ONDA RIFRATTA  $\left\{ \begin{array}{l} \text{UNIFORME per } \theta \leq \theta_L \\ \text{NON UNIFORME per } \theta > \theta_L \end{array} \right.$





Dato che  $\mu_2$  è NON DISSIPATIVO,  $K'^2 = \beta'^2 - \alpha'^2 - 2j\alpha' \cdot \beta'$  è REALE e quindi è richiesto che  $\alpha' \perp \beta'$ .

Per cui l'espressione dell'onda non uniforme RIFRATTA è:

$$\underline{E}' = \underline{E}_0' e^{-\alpha' z - j\beta' x}$$

E delle condizioni di continuità ricaviamo  $\alpha'$  e  $\beta'$ :

- $\beta' = \beta'_x = \sqrt{\alpha'^2 + \omega^2 \mu_2 \epsilon_2} = \omega \sqrt{\mu_1 \epsilon_1} \sin \theta = \beta_x = \beta \sin \theta$
- $\alpha' = \omega \sqrt{\mu_1 \epsilon_1} \sqrt{\sin^2 \theta - \frac{\mu_2 \epsilon_2}{\mu_1 \epsilon_1}}$

Che ci permettano di scrivere le equazioni dei campi dell' ONDA RIFRATTA:

$$\underline{E}' = \underline{E}_0' e^{-\omega \sqrt{\mu_1 \epsilon_1} \left( \sqrt{\sin^2 \theta - m_{z1}^2} z - j \sin \theta x \right)}$$

$$\underline{H}_0' = \frac{(\beta'_x \underline{x}_0 - j\alpha'_z \underline{z}_0) \times \underline{E}_0'}{\omega \mu_2}$$

\* Da cui, essendo  $\beta > 0$ , si vede una CARATTERISTICA delle ONDE NON UNIFORMI, ovvero che, se  $\underline{E}_0$  è polarizzato linearmente  $\Rightarrow \underline{H}_0$  sarà polarizzato ellitticamente, senza poter essere circolare!



## • TRASPORTO DI POTENZA:

Assumiamo per comodità che l'onda incidente sia POLARIZZATA ORIZZONTALMENTE,  
per continuità, lo è anche quella RIFRATTA e si ha:

$$\underline{E}_0' = E_0' \underline{y}_0$$

$$\underline{H}_0' = \frac{\beta' E_0'}{\omega \mu_2} \underline{z}_0 + j \frac{\alpha' E_0'}{\omega \mu_2} \underline{x}_0$$

$$(\alpha' \neq \beta' \rightarrow \text{POL. } \underline{H}_0' \text{ ELLITTICA})$$

Il Vettore di Poynting è:

$$\begin{aligned} \underline{P}' &= \frac{1}{2} E_0' \underline{y}_0 e^{-\alpha' z - j\beta' x} \times \left[ j \frac{\alpha' E_0'}{\omega \mu_2} \underline{x}_0 + \frac{\beta' E_0'}{\omega \mu_2} \underline{z}_0 \right]^* e^{-\alpha' z + j\beta' x} = \\ &= \boxed{\frac{1}{2} j |E_0'|^2 \frac{\alpha'}{\omega \mu_2} e^{-2\alpha' z} \underline{z}_0 + \frac{1}{2} |E_0'|^2 \frac{\beta'}{\omega \mu_2} e^{-2\alpha' z} \underline{x}_0} \end{aligned}$$

esponenziale già coniugato!

Abbiamo 2 termini che compongono la DENSITA' DI POTENZA:

- diretto secondo  $\underline{z}_0$  e IMMAGINARIO  $\rightarrow$  non trasporta potenza;  
è un' ATTENUAZIONE
- diretto secondo  $\underline{x}_0$  e REALE  $\rightarrow$  c'è propagazione e trasporto di potenza,  
ma l'ampiezza diminuisce esponenzialmente  
con la profondità  $z$ .
- Quando  $\theta > \theta_L$ : NON c'è flusso di potenza attraverso il piano di separazione  
tra i due mezzi, ma la potenza fluisce parallelamente ad esso!
- La potenza non fuoriesce attraverso l'interfaccia tra i due dielettrici, ma rimane  
CONFINATA nel DIELETTRICO PIU' DENSO, nel nostro caso quello superiore  $n_1$ .

Si ha un EFFETTO DI GUIDA che può essere sfruttato in:

- strutture piane per l'ottica integrata;
- guide ottiche (FIBRE OTTICHE) con dielettrico a gradino  $\rightarrow$  STEP INDEX

